

01;05;10;12

Об образовании релятивистских позитронных систем путем осевого каналирования позитронов в ионных кристаллах

© А.С. Геворкян¹, А.Г. Григорян¹, А.Р. Мкртчян², А.Г. Тонейн²

¹ Институт высокопроизводительных вычислений и баз данных Госкомитета РФ по науке и технологиям, 194291 Санкт-Петербург, Россия

² Институт прикладных проблем физики АН Армении, 375014 Ереван, Армения

(Поступило в Редакцию 26 декабря 1996 г.)

Построено аналитическое выражение для эффективного потенциала взаимодействия быстрой заряженной частицы с ионным кристаллом типа CsCl в зависимости от температуры среды с учетом дальнего порядка. С помощью численного анализа показано, что в кристаллах этой структуры вдоль оси $\langle 100 \rangle$ отрицательно заряженных ионов существует реальная возможность осевого сверхканалирования позитронов. Подробно исследованы волновая функция и энергетический спектр локализованного состояния, проанализирована возможность образования метастабильных двумерных релятивистских позитронных систем.

Введение

Явление аномального прохождения ионов вдоль определенных кристаллографических осей и плоскостей было открыто экспериментально в 1960 г. [1]. В 1963 г. оно было подтверждено путем численного моделирования [2] и названо эффектом "каналирования". Теоретическое объяснение этого явления было сделано в 1965 г. Линдхардтом в рамках классической механики [3]. Квантово-механическая теория каналирования электронов и позитронов была развита многими авторами [4–6]. В последующие после появления теории Линдхардта годы особенно бурно развивались теория и эксперимент, касающиеся проблем каналирования легких заряженных частиц — электронов и позитронов.

Следует отметить, что электрон в кристалле может находиться как в режиме плоскостного, так и осевого каналирования. Для позитронов же известен только один тип истинного каналирования, а именно когда частица локализовывается между двумя соседними плоскостями [5].

Возможность осевого каналирования положительных частиц до сегодняшнего дня серьезно не обсуждалась в связи с тем, что сами кристаллические оси независимо от сорта и симметрии кристалла заряжены положительно. Тем временем изыскания возможностей осевого каналирования позитронов и тем самым образования метастабильных релятивистских позитронных систем представляются чрезвычайно актуальной проблемой радиационной физики. Достаточно сказать, что до сих пор одним из возможных путей генерации когерентного γ -излучения считается метод стимулирования распада позитрониев (e^+e^-) $\rightarrow 2\gamma$, образованных посредством смешения релятивистских электронных и позитронных пучков в вакууме [7,8]. Однако, этот путь имеет чрезвычайно уязвимое место, а именно очень низкую вероятность образования самих пар (e^+e^-) в указанных условиях. В последнее время был предложен другой способ генерации когерентного γ -излучения, основанный на стим-

мулировании аннигиляции каналированных в кристалле позитронов с электронами среды [9]. Последний путь нам кажется более предпочтительным.

В наших предыдущих работах [10–13] с целью выявления новых возможностей для каналирования легких заряженных частиц было обращено внимание на возможности ионных кристаллов типа CsCl. В частности, был подробно изучен эффективный потенциал взаимодействия заряженной частицы с кристаллом в режиме плоскостного каналирования вдоль основных плоскостей $\langle 100 \rangle$ ионов Cs^+ и хлора Cl^- .

В настоящей работе построен эффективный потенциал взаимодействия заряженной релятивистской частицы с кристаллом вблизи осевого направления $\langle 100 \rangle$. Подробно исследован эффективный потенциал каналирования позитрона вблизи оси $\langle 100 \rangle$ ионов Cl^- методом численного моделирования. Решено уравнение Шредингера в двумерном эффективном потенциале, найдена волновая функция и спектр энергий. Проанализирована роль диссипативных процессов в уширении спектральных линий двумерных релятивистских позитронных систем.

Каналирование позитрона вокруг оси $\langle 100 \rangle$ ионов Cl^- в кристалле CsCl

Потенциал, создаваемый трехмерным бесконечным кристаллом типа CsCl в приближении Иенсена–Майера–Гослера–Роде с учетом тепловых колебаний в декартовых координатах, начало которого закреплено с ионом Cl^- , имеет вид [10]

$$\varphi(\mathbf{r}; T) = 4\pi \int d\mathbf{R} \frac{1}{d^3} \sum_{k \neq 0} \frac{1}{k^2} e^{i\mathbf{k}(\mathbf{r}-\mathbf{R})} \times \left\{ (-1)^{l+n+m} e^{-\frac{k^2 a_0^2}{2}} W^+(\mathbf{R}) + e^{-\frac{k^2 a_0^2}{2}} W^-(\mathbf{R}) \right\},$$

$$\mathbf{k} = \frac{2\pi}{d} (\hat{x}l + \hat{y}n + \hat{z}m), \quad (1)$$

где d — период прямой решетки; \mathbf{k} — вектор обратной решетки; $(l, n, m) \in (-\infty, \infty)$ целые числа; $u_{0+} \equiv u_{0+}(T)$ и $u_{0-} \equiv u_{0-}(T)$ характеризуют амплитуды тепловых колебаний положительных Cs^+ и отрицательных Cl^- ионов при температуре T ; $W^+(\mathbf{R})$ и $W^-(\mathbf{R})$ обозначают плотность зарядов в ионах соответствующих знаков при температуре $T = 0$.

Вне структуры ионов электростатическое поле (1) сильно упрощается и принимает вид

$$\varphi_{nst}(\mathbf{r}; T) = \frac{4\pi e^-}{d^3} \sum_{\mathbf{k} \neq 0} \frac{1}{k^2} e^{i\mathbf{k}\mathbf{r}} \times \left[(-1)^{l+n+m} e^{-\frac{k^2 u_{0+}^2}{2}} - e^{-\frac{k^2 u_{0-}^2}{2}} \right]. \quad (2)$$

Теперь перейдем к изучению структуры эффективного потенциала. Пусть быстрая положительно заряженная частица рассеивается под малым углом $\vartheta \leq \vartheta_L \sim \sqrt{D_0/E}$ (где ϑ_L — угол Линдхардта, E — полная энергия частицы, D_0 — глубина ямы) на оси $\langle 100 \rangle$ иона Cl^- . Тогда потенциал (1) можно усреднять по направлению быстрого движения, т. е. по оси $\langle 100 \rangle$ ионов Cl^- , что эквивалентно интегрированию потенциала по координате z в пределах одного периода d (рис. 1). При

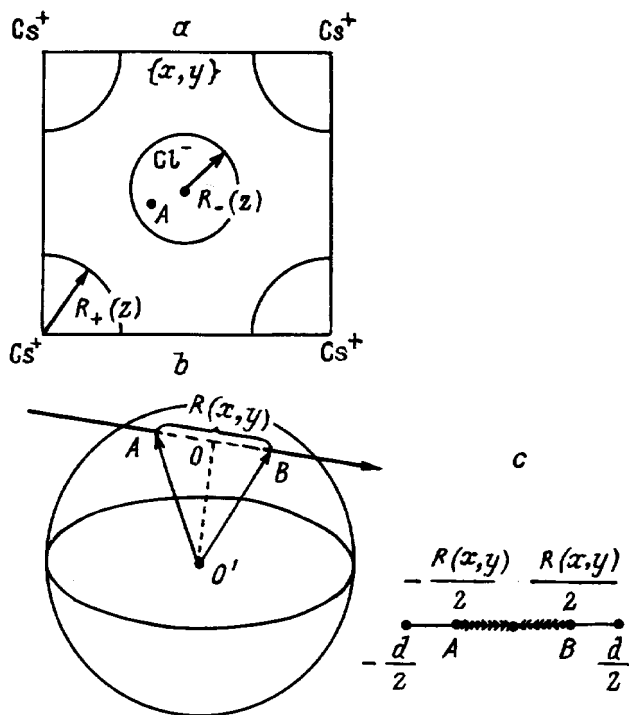


Рис. 1. Двумерное сечение $\{x, y\}$ трехмерной элементарной ячейки кристалла CsCl на глубине z по направлению оси $\langle 100 \rangle$: Радиусы сечения ионов шаров определяются соответственно выражениями $R_+(z) = \text{Re} \sqrt{R_{0+}^2 - (\frac{d}{2} - z)^2}$ и $R_-(z) = \text{Re} \sqrt{R_{0-}^2 - z^2}$; b — пересечение траектории частицы в точках A и B со сферой иона решетки; c — заштрихованная часть показывает участок пути длиной $R(x, y)$, который частица проходит внутри иона.

этом если частица пересекает ион Cl^- на расстоянии $\rho = \sqrt{x^2 + y^2}$, то участок d разделяется на три части (рис. 1). В первой и третьей частях частица движется вне иона, а во второй — внутри него. Заметим, что путь, который преодолевает частица внутри иона, имеет длину

$$R(x, y) = 2\text{Re} \sqrt{R_{0-}^2 - [\eta^2(x) + \eta^2(y)]d^2},$$

$$\eta(x) = \frac{1}{2} + (-1)^P \left(\left\{ \frac{x}{d} \right\} - \frac{1}{2} \right), \quad P_x = \left[\frac{2x}{d} \right],$$

$$\eta(y) = \frac{1}{2} + (-1)^{P_y} \left(\left\{ \frac{y}{d} \right\} - \frac{1}{2} \right), \quad P_y = \left[\frac{2y}{d} \right], \quad (3)$$

где скобки $[\]$ и $\{ \}$ соответственно обозначают целую и дробную части функций. В случае, когда частица пересекает ион Cs^+ , путь определяется формулой

$$R_+(x, y) = 2\text{Re} \sqrt{R_{0+}^2 - \left[\eta^2 \left(x - \frac{1}{2} \right) + \eta^2 \left(y - \frac{1}{2} \right) \right] d^2}. \quad (4)$$

Напомним, что в формулах (3) и (4) символы R_{0+} и R_{0-} обозначают радиусы соответствующих ионов. Теперь можно написать усредненный по координате z потенциал

$$\varphi_{\text{eff}}(x, y; T) = \int_{-d/2}^{-R_-/2} \varphi_{nst}(\mathbf{r}; T) dz + \int_{-R_-/2}^{R_-/2} \varphi(\mathbf{r}; T) dz$$

$$+ \int_{-R_-/2}^{d/2} \varphi_{nst}(\mathbf{r}; T) dz - \int_{-d/2}^{-R_+/2} \varphi_{nst}(\mathbf{r}; T) dz$$

$$- \int_{-R_+/2}^{R_+/2} \varphi(\mathbf{r}; T) dz - \int_{-R_+/2}^{d/2} \varphi_{nst}(\mathbf{r}; T) dz. \quad (5)$$

После подстановки (1) и (2) в (5) и элементарного интегрирования находим

$$\varphi_{\text{eff}}(x, y; T) = \frac{8e^-}{\pi^2 d} \sum_{\substack{l, n, m=0 \\ l+n+m>0}} a_l a_n a_m \frac{e^{-\lambda^2 \mu^2}}{m \mu^2} \cos \left(\frac{2\pi}{d} l x \right)$$

$$\times \cos \left(\frac{2\pi}{d} n y \right) \{ (-1)^{l+n} \sin [\pi m \bar{R}_+(x, y)] W^+(l, n, m)$$

$$+ \sin [\pi m \bar{R}_-(x, y)] W^-(l, n, m) \} + \frac{4|e^-|}{\pi d}$$

$$\times \sum_{\substack{n, l=0 \\ n+l>0}} a_l a_n \frac{e^{-\lambda^2 \nu^2}}{\nu^2} \cos \left(\frac{2\pi}{d} l x \right)$$

$$\times \cos \left(\frac{2\pi}{d} n y \right) \{ (-1)^{l+n} - 1 \},$$

$$\bar{R}_+(x, y) = R_+(x, y)/d, \quad \bar{R}_-(x, y) = R_-(x, y)/d, \quad (6)$$

где

$$\mu^2 = l^2 + n^2 + m^2, \nu^2 = l^2 + n^2, \lambda \equiv u_{0+}/d = u_{0-}/d,$$

$$a_0 = 1/2, a_i = 1 (i \neq 0),$$

$$W^\pm(l, n, m) = \int W^\pm(\mathbf{R})e^{-i\mathbf{k}\mathbf{R}}d\mathbf{R}. \quad (6')$$

Отметим, что при получении параметра λ предполагаем, что амплитуды тепловых колебаний равны $u_{0+} = u_{0-}$, что вполне разумно при акустических колебаниях. Для численного анализа выражения (6) необходимо уточнить виды структурных функций $W^+(l, n, m)$ и $W^-(l, n, m)$. Представим плотность заряда внутри иона в виде

$$W^\pm(\mathbf{R}) = V^\pm(\mathbf{R}) + Z^\pm\delta(\mathbf{R}), \quad (7)$$

где $V^\pm(\mathbf{R})$ — распределение электронов внутри ионов кристалла, Z^\pm — число протонов в точечном ядре.

Подставляя (7) в (6') и предполагая, что распределение электронного заряда внутри иона обладает сферической симметричностью, для структурного фактора получаем

$$W^\pm(l, n, m) = Z^\pm + X^\pm(l, n, m) \pm 1,$$

$$X^\pm(l, n, m) = \frac{4\pi}{k} \int_0^\infty V^\pm(R)R \sin(kR)dR, \quad k = |\mathbf{k}|. \quad (8)$$

Далее, выбрав в качестве функции $V(R)$ модель Ленца–Иенсена [10,11] с параметрами кристалла CsCl, вычислили выражение (6) для четырех разных значений $\lambda = \{0.001, 0.01, 0.05 \text{ и } 0.1\}$. Как видно из рис. 2, $a-d$ вокруг оси $\langle 100 \rangle$ ионов Cl^- для быстрых положительно заряженных частиц существует довольно широкая (шириной $\Delta d \sim 0.25d$) потенциальная яма, глубиной $D_0 = 9.8 \text{ eV}$, которая в широком интервале тепловых колебаний $0.001 \leq \lambda \leq 0.1$, т.е. в широком диапазоне температур, не изменяется. Другими словами, быстрая положительно заряженная частица вокруг оси $\langle 100 \rangle$ ионов Cl^- при соответствующих условиях рассеяния захватывается в режим осевого каналирования. Исходя из симметрии полученного эффективного потенциала (рис. 2, $a-d$) его удобно аппроксимировать функцией типа

$$U(\rho) = D_0(e^{-2\alpha\bar{\rho}} - 2e^{-\alpha\bar{\rho}}),$$

$$\bar{\rho} = \frac{\rho - \rho_0}{\rho}, \quad \rho = \sqrt{x^2 + y^2}, \quad (9)$$

где в кристалле CsCl имеем следующие значения для параметров потенциала (9) $D_0 = 9.8 \text{ eV}$, $\alpha = 0.838$ и $\rho_0 = 0.46 \text{ \AA}$.

Необходимо отметить, что такая аппроксимация, как показывают сравнения с прямыми численными расчетами, при значениях потенциала $< -4 \text{ eV}$ дает точность не ниже 1%. Заметим также, что при численных расчетах выражения (5) в функциях распределения Ленца–Иенсена использованы параметры ионов Cl^- и Cs^+ ,

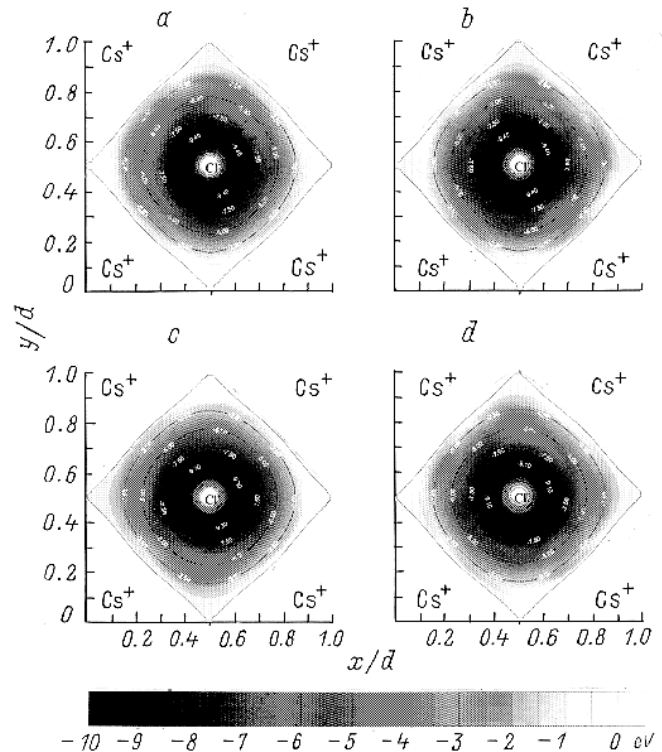


Рис. 2. Профиль эффективного потенциала осевого каналирования позитрона вдоль оси $\langle 100 \rangle$ ионов Cl^- при разных температурах. $\lambda = 0.001$ (a), 0.01 (b), 0.05 (c), 0.1 (d).

близкие по значению параметрам этих ионов в свободном состоянии. В связи с этим следует ожидать, что при применении в расчетах более точных значений для параметров ионов кристалла характеристики поля осевого каналирования позитронов будут улучшаться.

Двумерная релятивистская позитронная система

Волновую функцию позитрона в режиме осевого каналирования можно представить в виде

$$\psi(\mathbf{r}) = \frac{1}{2\pi} \exp\left(\frac{i}{\hbar} p_z z\right) \Phi(\rho, \varphi), \quad \mathbf{r} = (z, \rho, \varphi) \quad (10)$$

с условием нормировки

$$\int \psi^*(\mathbf{r})\psi(\mathbf{r})d\mathbf{r} = \delta(p_z - p'_z)\delta_{nm'}\delta_{mm'},$$

$$\varepsilon < 0 \quad n, m = 0, 1, 2, \dots, \quad (10')$$

где $\delta(p_z - p'_z)$ дельта-функция Дирака, $\delta_{nm'}$ — символ Кронекера, ε обозначает энергию, $\Phi(\rho, \varphi)$ — волновую функцию связанного состояния.

Подставляя (10) в трехмерное уравнение Шредингера, записанное в цилиндрических координатах (x, ρ, φ) ,

Таблица 1.

| $E = 5 \text{ MeV}$ | | | | |
|---------------------|-----------------------------|-----------------------------|-----------------------------|---|
| n, m | 0 | 1 | 2 | 3 |
| 0 | $\varepsilon_{00} = -7.986$ | $\varepsilon_{01} = -5.893$ | | |
| 1 | | | $\varepsilon_{12} = -5.611$ | |
| 2 | | | | |
| 3 | | | | |

Таблица 2.

| $E = 10 \text{ MeV}$ | | | | |
|----------------------|-----------------------------|-----------------------------|-----------------------------|-----------------------------|
| n, m | 0 | 1 | 2 | 3 |
| 0 | $\varepsilon_{00} = -8.097$ | $\varepsilon_{01} = -7.082$ | $\varepsilon_{02} = -4.050$ | |
| 1 | | $\varepsilon_{11} = -9.330$ | $\varepsilon_{12} = -5.800$ | |
| 2 | | | | $\varepsilon_{23} = -8.322$ |
| 3 | | | | |

Таблица 3.

| $E = 20 \text{ MeV}$ | | | | |
|----------------------|-----------------------------|-----------------------------|-----------------------------|-----------------------------|
| n, m | 0 | 1 | 2 | 3 |
| 0 | $\varepsilon_{00} = -8.368$ | $\varepsilon_{01} = -7.873$ | $\varepsilon_{02} = -6.388$ | $\varepsilon_{03} = -3.918$ |
| 1 | $\varepsilon_{10} = -8.535$ | $\varepsilon_{11} = -7.980$ | $\varepsilon_{12} = -6.318$ | $\varepsilon_{13} = -3.552$ |
| 2 | | | | $\varepsilon_{23} = -6.915$ |
| 3 | | | | |

Таблица 4.

| $E = 30 \text{ MeV}$ | | | | |
|----------------------|-----------------------------|-----------------------------|-----------------------------|-----------------------------|
| n, m | 0 | 1 | 2 | 3 |
| 0 | $\varepsilon_{00} = -8.540$ | $\varepsilon_{01} = -8.213$ | $\varepsilon_{02} = -7.233$ | $\varepsilon_{03} = -5.602$ |
| 1 | $\varepsilon_{10} = -8.117$ | $\varepsilon_{11} = -7.758$ | $\varepsilon_{12} = -6.682$ | $\varepsilon_{13} = -4.889$ |
| 2 | | $\varepsilon_{21} = -9.789$ | $\varepsilon_{22} = -8.616$ | $\varepsilon_{23} = -6.662$ |
| 3 | | | | |

Примечание. Значения энергий даны в eV. Те ячейки таблиц, в которых отсутствуют данные, означают, что состояния с такими квантовыми числами не существуют.

находим

$$\left(\frac{\partial^2}{\partial \rho^2} + \frac{2}{\rho} \frac{\partial}{\partial \rho} + \frac{1}{\rho^2} \frac{\partial^2}{\partial \varphi^2} \right) \Phi(\rho, \varphi) + \frac{2\mu}{\hbar^2} [\varepsilon - U(\rho)] \Phi(\rho, \varphi) = 0, \quad (11)$$

где μ — релятивистская масса позитрона.

Теперь, исходя из симметрии потенциала (9), решение (11) представим в виде

$$\Phi(\rho, \varphi) = \frac{1}{2\pi\alpha} e^{im\varphi} \chi(\rho). \quad (12)$$

После подстановки (12) в (11) для радиальной волновой функции получаем следующее уравнение:

$$\frac{d^2 \chi}{d\rho^2} + \frac{2\mu}{\hbar^2} \left(\varepsilon - \frac{\hbar^2 m^2}{2\mu \rho^2} - U(\rho) \right) \chi = 0. \quad (13)$$

Дальнейшее исследование уравнения (13) проводится аналогично работе [14]. В связи с тем, что в канале для малых квантовых чисел координата ρ не слишком отличается от ρ_0 , центробежный член в (13) удобно разлагать в ряд по степеням параметра $\bar{\rho}$

$$\frac{\hbar^2 m^2}{2\mu \rho^2} = \frac{m^2}{\gamma_0^2} D_0 (c_0 + c_1 e^{-\alpha \bar{\rho}} + c_2 e^{-2\alpha \bar{\rho}}) + O(\bar{\rho}^3), \quad (14)$$

где введены обозначения

$$c_0 = 1 - \frac{3}{\alpha} + \frac{3}{\alpha^2}, \quad c_1 = \frac{4}{\alpha} - \frac{6}{\alpha^2},$$

$$c_2 = -\frac{1}{\alpha} + \frac{3}{\alpha^2}, \quad \gamma_0^2 = 2\mu \frac{D_0 \rho_0^2}{\hbar^2}. \quad (15)$$

После подстановки (14) в (13) мы приходим к точно решаемой модели квантовой механики [14], для которой радиальная волновая функция имеет вид

$$\chi(\bar{\rho}) = y^s e_1^{-\frac{1}{2}y} F_1(a, c, y), \quad y = \frac{2\gamma_0}{\alpha} e^{-\alpha \bar{\rho}}, \quad s = \frac{\beta}{\alpha}, \quad (16)$$

где

$$\beta^2 = \beta_0^2 + m^2 c_0, \quad \gamma_1^2 = \gamma_0^2 - \frac{1}{2} m^2 c_1^2, \quad \gamma_2^2 = \gamma_0^2 + \frac{1}{2} m^2 c_2^2, \\ \beta_0^2 = -\frac{2\mu \varepsilon \rho_0^2}{\hbar^2} > 0, \quad a = \frac{1}{2} \left(\frac{2\beta}{\alpha} + 1 \right) - \frac{\gamma_1^2}{\alpha \gamma_2^2}. \quad (17)$$

Что касается собственных значений, то для них находится выражение [14]

$$\varepsilon_{nm} = \frac{\hbar^2}{2\mu \rho_0^2} \left\{ -\gamma_0^2 + \alpha \gamma_0 \left(n + \frac{1}{2} \right) - 2^2 \left(n + \frac{1}{2} \right)^2 + m^2 - \frac{3(\alpha - 1)}{\alpha \gamma_0} \times \left(n + \frac{1}{2} \right) m^2 \frac{9(\alpha - 1)^2}{4\alpha^4 \gamma_0^4} m^4 \right\}, \quad (18)$$

где n — обозначает колебательное квантовое число; m — соответственно квантовое число, характеризующее вращательное движение. В таблицах 1–4 приведены несколько значений энергетического спектра поперечного движения позитрона для полной энергии позитрона E в зависимости от квантовых чисел n (меняется по столбцу) и m (меняется по строке).

Заключение

Как показано выше, положительно заряженные релятивистские частицы в ионных кристаллах типа CsCl вокруг оси $\langle 100 \rangle$ ионов Cl^- могут захватываться в режим осевого каналирования. С помощью численного анализа показано, что потенциал каналирования в этом случае имеет кольцевую симметрию, расположен в областях, далеких от кристаллических осей, и практически не зависит от температуры среды. Последнее может означать, что вклад процессов упругого рассеяния (как когерентного, так и некогерентного) в уширение уровней энергий поперечного движения должен быть незначительным. Другими словами, в этом случае за уширение спектра становятся ответственны другие механизмы, такие как а) неупругие процессы с возбуждением электронов внутри ионов кристалла; б) радиационные переходы между уровнями поперечного движения, в) зонное уширение. Из литературы хорошо известно, что эти механизмы действуют независимо друг от друга.

Следует отметить, что радиационные переходы важны для частиц с очень высокой энергией $E \geq 10 \text{ GeV}$ [15]. Что касается зонного уширения уровней, связанного с периодичностью эффективного потенциала, то оно, как показано в [16], не приводит к непосредственному уменьшению времени жизни частицы на данном уровне и вообще это явление имеет место для уровней с большими значениями квантовых чисел n и m . Из сказанного следует, что в рассматриваемой задаче наиболее важным механизмом уширения спектральных уровней, или наиболее сильным фактором деканалирования, является неупругое рассеяние с возбуждением и ионизацией ионов цепочек.

Таким образом, можно ожидать, что а) позитроны с относительно низкой полной энергией ($E = 5\text{--}30 \text{ MeV}$) в упомянутых выше условиях будут сверхканалировать, образовав тем самым устойчивые двумерные релятивистские позитронные системы; б) предложенным способом практически из всех позитронов пучка в кристалле можно образовать позитронные системы, что в принципе невозможно осуществить путем перемешивания электронных и позитронных пучков в вакууме [7,8]; в) в условиях рассматриваемой задачи путем внешних воздействий можно сильно изменять параметры позитронной системы, включая создание условий для резонансной аннигиляции позитрона с электроном среды; г) перспективным можно считать также исследование осевого каналирования тяжелых положительных ионов.

Авторы благодарят участников теоретического семинара ИППФ НАН Армении за плодотворное обсуждение данной работы.

Список литературы

- [1] *Davies J.A., Friesen J., McIntyre J.D.* // Can. J. Chem. 1960. Vol. 38. P. 1526.
- [2] *Robinson M.T., Oen O.S.* // Appl. Phys. Lett. 1963. Vol. 2. P. 30.
- [3] *Lindhard J.* // Kgl. Dan. Viden. Sels. Mat. 1965. Vol. 34. N 14.
- [4] *Kumakhov M.A.* // Phys. Lett. Ser. A. 1976. Vol. 57. P. 17.
- [5] *Beloshitsky V.V., Komarov F.F.* // Phys. Rep. 1982. Vol. 93. P. 117.
- [6] *Базылев В.А., Жеваго Н.К.* // УФН. 1982. Т. 137. С. 605.
- [7] *Bertolotti M., Sibilia C.* // Lett. Nuo. Chim. 1978. Vol. 27. N 7. P. 261.
- [8] *Bertolotti M., Sibilia C.* // Appl. Phys. 1979. Vol. 19. P. 127.
- [9] *Kurizki G., Friedman A.* // Phys. Rev. A. 1988. Vol. 18. N 1. P. 512.
- [10] *Геворкян А.С.* и др. // ЖТФ. 1989. Т. 59. Вып. 3. С. 54.
- [11] *Геворкян А.С.* и др. Препринт Ереванского физического института № ЕрФИ-1051(14)-88. Ереван, 1988. 10 с.
- [12] *Геворкян А.С.* и др. // Тез. докл. III Всесоюз. конф. по излучению релятивистских частиц в кристаллах. Нальчик, 1988. С. 2.
- [13] *Гамбош П.* Статистическая теория и ее применение. М.: ИЛ, 1951. 398 с.
- [14] *Флюгге З.* Задачи по квантовой механике. Т. 2. М.: Мир, 1974. 341 с.
- [15] *Kumakhov M.A., Wedell R.* // Phys. St. Sol. (b). 1979. Vol. 92. P. 65.
- [16] *Базылев В.А., Головизин В.В.* // ЖЭТФ. 1982. Т. 82. Вып. 4. С. 1204.